

И Н С Т И Т У Т ³⁶
ЯДЕРНОЙ ФИЗИКИ СОАН СССР

ПРЕПРИНТ И Я Ф 75 - 67 .

Е.В.Шунько

ИССЛЕДОВАНИЕ ЭЛЕМЕНТАРНЫХ ПРОЦЕССОВ
В ПЛАЗМЕ ТЛЕЮЩЕГО РАЗРЯДА ДЛЯ СМЕСИ
ГАЗОВ CO_2 -ОКГ ПРИ СРЕДНИХ ДАВЛЕНИЯХ

Новосибирск

1975

ИССЛЕДОВАНИЕ ЭЛЕМЕНТАРНЫХ ПРОЦЕССОВ В
ПЛАЗМЕ ТЛЕЮЩЕГО РАЗРЯДА ДЛЯ СМЕСИ ГАЗОВ CO_2 - N_2
ПРИ СРЕДНИХ ДАВЛЕНИЯХ

Е. В. Шунько

А Н Н О Т А Ц И Я

В настоящей работе с помощью зондовой и термопарной методик исследовано поведение функции распределения электронов $f(\epsilon)$ в плазме тлеющего разряда для N_2 , CO_2 , их смеси и смеси $\text{N}_2 + \text{CO}_2 + \text{He}$. Показано, что в смеси $\text{N}_2 + \text{CO}_2 + \text{He}$ при $p_{\text{N}_2} \geq p_{\text{CO}_2}$ $f(\epsilon)$ определяется только наличием азота для вариации $p_{\text{He}} = 0 + 2p_{\text{N}_2}$.

На коаксиальной модели получена зависимость $f(\epsilon)$ от E/N (где E — напряженность электрического поля, а N — концентрация нейтральных молекул) в диапазоне $E/N = 0 + 15 \cdot 10^{-16}$ в.см².

Показано, что $f(\epsilon)$ хорошо аппроксимируется аналитическим выражением: $f(\epsilon) \approx \frac{2 \cdot \epsilon}{\epsilon_0^2} \cdot \exp\left[-\left(\frac{\epsilon}{\epsilon_0}\right)^2\right]$ во всем диапазоне измерений.

Найден алгоритм расчета распределения концентрации электронов, концентрации возбужденных молекул и температуры газа при заданной геометрии разряда и величине разрядного тока и давления.

Определено поведение основных параметров газоразрядной плазмы при последовательном составлении смеси: $\text{CO}_2 \rightarrow \text{CO}_2 + \text{N}_2 \rightarrow \text{CO}_2 + \text{N}_2 + \text{He}$.

Измерена зависимость скорости электрического дрейфа электронов от параметра E/N для CO_2 , $\text{CO}_2 + \text{N}_2$ и $\text{CO}_2 + \text{N}_2 + \text{He}$.

I. Функция распределения электронов по энергиям

В /I/ упоминалось о том, что зондовые и термопарные измерения были осуществлены также и в газоразрядной плазме смесей газов CO_2 , N_2 и He при различных концентрациях последних.

На фиг. I "а" и "б" изображены функции распределения электронов по энергиям для чистого азота и для различных смесей, приготовленных в следующей последовательности: сначала трубка наполнялась углекислым газом до давления 0,8 торр и производились необходимые зондовые и термопарные измерения^{х)}; после этого в трубку добавлялся азот до суммарного давления $p_{\text{CO}_2} + p_{\text{N}_2} = 3$ торр и измерения повторялись; далее, измерения производились с добавлением каждой следующей единицы давления (1 торр) гелия вплоть до $p_{\text{CO}_2} + p_{\text{N}_2} + p_{\text{He}} = 8$ торр.

Анализ полученных результатов позволяет утверждать, что функция распределения электронов $f(\epsilon)$ в смеси при $p_{\text{N}_2} \geq p_{\text{CO}_2}$ тождественна функции распределения в N_2 и определяется только азотом, а добавление He в указанном интервале давлений не меняет вида $f(\epsilon)$. Поэтому в дальнейшем при определении параметра E/N (где E — напряженность электрического поля, а N — концентрация нейтральных частиц) в расчет принималась суммарная концентрация нейтральных молекул N_2 и CO_2 .

К сожалению, цилиндрическая геометрия разряда не дает возможности исследовать поведение $f(\epsilon)$ и скорости дрейфа электронов v_d от параметра E/N в широких пределах изменения последнего, т.к. величина E/N является нерегулируемым фактором. В нашем случае, например, при внутреннем диаметре газоразрядной трубки $\phi = 3,2$ см, E/N варьировалась в зависимости от p и тока разряда I_p так, как это изображено на фиг. 2. Поэтому были предприняты поиски другой геометрии разряда, в которой такие ограничения не были бы так существенны.

Для исследований была выбрана система из двух коаксиальных цилиндрических электродов. Внешний электрод служил анодом (внутренний диаметр 15 см, нержавеющей сталь), а внутренний — катодом (внешний диаметр 8,6 см, медь). Рабочая длина системы $L=20$ см. На аноде располагалась катушка магнитного поля с водяным охла-

х) Параметры установки описаны в /I/.

дением (намотка выполнена медной трубкой). С каждой стороны к аноду вакуумплотно закреплялся объем, который одновременно служил консолью для крепления катода и местом напуска или откачки газа. Каждый такой объем крепился к аноду и катоду установки с помощью переходных кольцевых изоляторов. Анод не охлаждался, а катод охлаждался проточной водой. Пульсирующее напряжение частотой 50 гц между анодом и катодом подавалось на установку через регулируемое балластное сопротивление $R = 0 + 120$ ом. Форма тока и напряжения на разрядном промежутке изображена фиг.3.

Система напуска газа представляла собой три баллона со сжатыми до 150 атм N_2 , CO_2 , He, соединенные каждый через редуктор и микронатекатель с буферным объемом, имеющим через клапан выход в установку. Прокачка осуществлялась с помощью вакуумного агрегата АВМ-50 и могла регулироваться в диапазоне $v_{п} = 0 + 3,5$ м/сек.

Давление газов в системе измерялось с помощью U-образного масляного манометра. Все исследования проводились при однополупериодном режиме питания. Характерная величина пикового значения разрядного тока - 8а. Рабочая смесь представляла собой 0,8 торр $CO_2 + 2,2$ торр $N_2 + 5$ торр He.

В разрядном промежутке на общей консоли было смонтировано 8 зондов. Первый зонд был расположен на расстоянии $\sim 0,5$ мм от катода, остальные, насколько это было возможно, были равномерно расставлены в разрядном промежутке. Диаметры рабочей части зондов $\phi 6$ мм, длина ~ 4 мм, диаметры кварцевых капилляров ~ 100 мкм, их длина ~ 10 см. Консоль с зондом могла передвигаться вдоль оси установки.

Электронный ключ позволял подключать к системе измерения попеременно любой из выбранной пары зондов, так что за счет последовательного свечения экрана (осциллограф с I-33) можно было фиксировать одновременно сигналы I_1, I_2, I_3 от этой пары. На фиг.4 приведена типичная осциллограмма, полученная в процессе измерений. Момент измерения был привязан к максимуму разрядного тока, а длина "пилы" анализирующего напряжения составляла ~ 100 мксек при амплитуде ~ 50 в (линейность рабочего участка "пилы" как и в работе /1/ 2%).

Как и следовало ожидать, магнитное поле позволило в широких пределах варьировать напряженность электрического поля в разрядном промежутке (в системе реализован случай скрещенных электрического E и магнитного H - полей). Зависимость полученных в процессе эксперимента $f(\epsilon)$ от радиуса при различных значениях магнитного поля H представлена на фиг.5. Здесь и везде далее для рисунков за ноль отсчета радиуса принята поверхность катода, а функции распределения нормированы таким образом, что $\int_0^1 f(\epsilon) d\epsilon = 1$ (или $\int_0^1 f(v) dv = 1$).

Анализ рисунка позволяет сделать следующие выводы:

"а" - средняя энергия электронов вблизи катода мала ($\langle \epsilon \rangle \approx 0,35$ эВ) и нарастает к аноду.

"б" - с ростом магнитного поля H средняя энергия электронов растет, принимая в том числе величину, реализующуюся в анодном столбе продольного разряда в цилиндрической геометрии ($\langle \epsilon \rangle \approx 1,9$ эВ).

Для измерения температуры нейтрального газа в разряде применялись термопары, аналогичные тем, которые были использованы в экспериментах на цилиндрической геометрии разряда (Pt - Cu, $\phi 30 \mu$ и $\phi 15 \mu$, соответственно). Конструктивно система термопар была оформлена так же как и система зондов, а измерительная схема позволяла последовательно подключать к осциллографу (Solatron) любую из термопар. На фиг.6 приведена типичная осциллограмма сигнала с термопары.

Результаты обработки зондовых и термопарных измерений представлены на фиг.7а,б,в и г.

На фиг.8 приведена величина напряжения на анодном столбе разряда $U_{ст}$ и величина прикатодного падения U_k , измеренные в зависимости от магнитного поля H. Значение $U_{ст}$ определялось как напряжение между первым (расстояние $\sim 0,5$ мм от катода) зондом и анодом, а напряжение прикатодного падения U_k вычислялось из выражения: $U_k = U_p - U_{ст}$, где U_p - напряжение на разрядном промежутке - оставалось неизменным в диапазоне $H = 0 + 500$ эрст.

Изображенные на фиг.7 зависимости, вообще говоря, сразу позволяют найти искомое поведение $\langle \epsilon \rangle = \phi(E/N)$. Однако прежде было желательно провести анализ формы измеренных функций распре-

деления, т.к. при одинаковом значении $\langle \epsilon \rangle$ можно было ожидать различные формы $f(\epsilon)$ и тогда величина $\langle \epsilon \rangle$ не являлась бы однозначной характеристикой и потеряла бы значительную часть своей информативности.

Прежде всего отметим, что анализировались формы необработанных, полученных в эксперименте осциллограмм вторых производных зондового тока \ddot{I}_3 .

Анализ заключался в том, что в экспериментальную осциллограмму методом наименьшего среднеквадратичного отклонения вписывалась зависимость вида: $\frac{\epsilon}{v} \cdot \exp[-(\epsilon/\epsilon_0)^4]$. Всего анализу было подвергнуто 421 отдельная осциллограмма.

При этом оказалось, что величина $A \approx 0.5 \pm 0.04$, а $\gamma \approx 2 \pm 0.13$. В связи с чем в последней инстанции в качестве единственного параметра осталась величина ϵ_0 . При этом функция распределения приобрела сравнительно простую аналитическую интерпретацию:

$$f(\epsilon) = \frac{2 \cdot \epsilon}{\epsilon_0^2} \cdot \exp[-(\epsilon/\epsilon_0)^2]$$

$$f(v) = \frac{4 \cdot v^3}{v_0^4} \cdot \exp[-(v/v_0)^4]$$

$$\langle \epsilon \rangle = \epsilon_0 \cdot \Gamma(3/2) \approx 0,88623 \cdot \epsilon_0$$

$$\langle v \rangle = v_0 \cdot \Gamma(5/4) \approx 0,9064 \cdot v_0$$

1.1

Здесь Γ - гамма-функция, а $v_0 \approx 5,931 \cdot 10^7 \cdot \sqrt{\epsilon_0}$ (эВ) см/сек.

Дисперсия вдоль кривых не превышала $\pm 7\%$ от текущего значения.

В качестве иллюстрации описанного метода на фиг. I "а" и "б" тонкими линиями изображены аппроксимирующие функции.

Следует оговориться, что аналитическую форму $f(\epsilon)$, полученную в результате аппроксимации осциллограмм, следует рассматривать только как удобное приближение. Однако разработанный метод позволяет теперь утверждать, что поведение величины $\langle \epsilon \rangle$ с высокой степенью достоверности отражает состояние процессов, связанных с функцией распределения электронов по энергиям, так как форма $f(\epsilon)$ (в интервале $E/N = 0 + 15 \cdot 10^{-16}$ см²/в) оказалась инвариантной с точностью до приведенных отклонений. В дальнейшем

в качестве параметра целесообразнее использовать величину $\epsilon_0 \approx \langle \epsilon \rangle / 0,88623$.

На фиг. 9 приведена зависимость ϵ_0 от E/N для N_2 и его смесей с использованием данных коаксиальной и цилиндрической геометрии разряда. Из-за недостатка данных для чистого CO_2 приведены только 3 экспериментальные точки. Пунктиром отмечена теоретическая кривая.

Аналитическая форма записи функции распределения дает возможность сравнительно просто вычислить удельные скорости соответствующих процессов в газовом разряде, которые можно представить выражением вида $\int_0^\infty f(v) \cdot \sigma_k(v) \cdot v \cdot dv = v_k / N_k$.

Результаты такого вычисления для различных σ_k представлены на фиг. I0 и фиг. I1.

Теперь достаточно просто проверить применимость зондовой методики в эксперименте с коаксиальной геометрией и магнитным полем. Соответствующие расчеты показывают, что величина $\omega_L \cdot \tau(r, N) \leq 1$ во всей области измерений (здесь $\omega_L = eH/mc$ - лагранжевская частота, а $\tau = 1/\Sigma v_k$, где $v_k = N_k \cdot \int_0^\infty f(v) \cdot \sigma_k(v) \cdot v \cdot dv$, k - индекс, соответствующий сорту газа; в данном случае CO_2 , N_2 или He).

Поскольку вопрос о достоверности измеренной формы функции распределения электронов, diskutirovavшийся в /1/, так и не получил своего разрешения, приведем наиболее сильный довод, который свидетельствует о хорошем соответствии функции распределения электронов, рассчитываемой по формуле Драйвестейна ($f(\epsilon) = A \cdot \sqrt{\epsilon} \cdot \ddot{I}_3$) и действительно имеющей место в разряде.

Предположим, что скорость возбуждения CO_2 в разряде в точности соответствует скорости возбуждения N_2 , а скорость возбуждения CO_2 , в свою очередь, равна полному числу фотонов вынужденного излучения в единицу времени. Тогда полагая, что энергия перехода P20 для CO_2 составляет $\epsilon_\Phi \approx 1,9 \cdot 10^{-20}$ Дж/молек., можно рассчитать мощность коаксиального лазера из соотношения:

$$W = \epsilon_\Phi \cdot L \cdot \int_{R_k}^{R_a} \frac{v_{N_2 + e \rightarrow N_2^* + e}}{N_{N_2}} \cdot N_{N_2}(r) \cdot n(r) \cdot r \cdot dr \quad (I.2)$$

где L - длина установки, $\nu_{N_2+e} \rightarrow N_{2+e}^*/N_{N_2}$ рассчитывается из имеющихся экспериментальных значений функций распределения (см. фиг. II) $N_{N_2}(r) = N_0 N_2 \cdot T_0/T(r)$; а $n(r)$ - определена из эксперимента.

На фиг. I2 изображены расчетная и экспериментальная зависимости выхода мощности из коаксиального лазера.

Для измерения мощности использовался катод длиной 140 см, приемник-калориметр с кремниевым поглотителем.

При расчете учитывалось, что термонарные и зондовые измерения осуществлялись в максимуме излучения, питание установки имело частоту 50 Гц, а ширина каждого импульса излучения у основания ~ 6 мсек (см. фиг. I3). Поэтому среднее по времени значение мощности коаксиального лазера должно было составлять $\sim 0,2$ от вычисленного по формуле I.2 значения.

Независимо мощность можно рассчитать /2/ из величины коэффициента усиления по малому сигналу α_0 и параметра насыщения в центре линии I_0 по формуле:

$$W = 2\pi \cdot \int_{R_k}^{R_a} I_0(r) \cdot [\sqrt{2L \cdot \beta \cdot \alpha_0(r)} - \beta] \cdot [\sqrt{2L \cdot \alpha_0(r)/\beta} - 1] \cdot r dr \quad (I.3)$$

где L - длина среды, β - относительные потери на зеркале резонатора.

Для измерения I_0 , α_0 был использован источник когерентного излучения, описанный в /3/. Обработка данных производилась аналогично /4/. Результаты приведены на фиг. I4 а и б.

Расчеты по формуле I.3 с использованием экспериментальных значений I_0 и α_0 дают значение $\langle W \rangle \approx 150$ вт.

Поскольку, как мы это видим, магнитное поле в широких пределах меняет значение ϵ_0 , следует полагать, что в данном эксперименте анализируется форма $f(\epsilon)$, от которой зависит частота возбуждения N_2 . Таким образом, приходим к заключению, что в пределах $(0,5+4) \cdot \epsilon_0$ форма функции распределения, определенная посредством формулы Драйзестейна, согласуется с действительно имеющей место в разряде $f(\epsilon)$ и хорошо аппроксимируется выражением:

$$f(\epsilon) = \frac{2 \cdot \epsilon}{\epsilon_0^2} \cdot \exp[-(\epsilon/\epsilon_0)^2]$$

2. Распределение концентрации электронов по радиусу в цилиндрической геометрии стационарного тлеющего разряда

Предположим, что рекомбинация плазмы происходит на стенках трубки, в плазме обеспечивается квазинейтральность, градиент концентрации плазмы вдоль оси пренебрежимо мал, потери плазмы обуславливаются амбиполярной диффузией на стенки и восполняются ионизацией, а коэффициент ионизации $\ll 1$. Тогда уравнение диффузии примет вид:

$$\frac{1}{r} \cdot \frac{\partial}{\partial r} \left[r \cdot D_a \cdot \frac{\partial n_i}{\partial r} \right] = - n_e(r) \cdot N_T(r) \cdot \int_0^{\infty} f(v) \cdot \sigma_i(v) \cdot v \cdot dv \quad (2.1)$$

Так как $D_a \approx \lambda_D / 3 \cdot \langle v_a \rangle$, $\langle v_a \rangle = \sqrt{2 \langle \epsilon \rangle / \mu_i}$, $n_e = n_i = n$,

$$\lambda_D = l_0 / p, \quad N_T = N_1 \cdot T_0 \cdot p_0 / T_T,$$

где l_0 - длина свободного пробега системы ион-электрон при амбиполярной диффузии и давлении газа 1 Торр; $p = p_0 \cdot T_0 / T_T$ - давление нейтрального газа, $\langle \epsilon \rangle$ - средняя энергия электрона, μ_i - масса иона, N_T - концентрация нейтрального газа, N_1 - концентрация нейтрального газа при давлении 1 Торр, p_0 - давление газа в "холодной" части установки (там, где производится измерение давления), T_0 - температура газа в манометре, T_T - температура газа в фиксированной точке объема, т.е. уравнение 2.1 принимает вид:

$$\eta \cdot T_T(r) \cdot \frac{1}{r} \cdot \frac{\partial}{\partial r} (r \cdot \sqrt{\langle \epsilon(r) \rangle} \cdot T_T(r) \cdot \frac{\partial n}{\partial r}) = n(r) \quad (2.2)$$

где $\eta \approx 15,58 \cdot 10^{-20} \cdot l_0 \cdot [p_0^2 \cdot \sqrt{M} \cdot \int_0^{\infty} f(v) \cdot \sigma_i(v) \cdot v \cdot dv]^{-1}$

(Здесь $l_0 = 1 \cdot 10^3$ см·торр, $\langle \epsilon \rangle$ эв, p_0 торр,
 M - молекулярный вес иона).

Так как эксперименты проводились при различных значениях E/N , потребуем, чтобы решения уравнения 2.2 при различных вариациях гладкой зависимости $\int_0^R f(v) \cdot \sigma_1(v) \cdot v \cdot dv = v_i / N_T = \phi(E/N)$ составляли минимальное среднеквадратичное отклонение от экспериментальных распределений $n(r)$. Результаты такого расчета для N_2 представлены на фиг.15. Здесь же приведена зависимость частоты ионизаций для CO_2 , полученная из данных для чистого CO_2 и для смесей $CO_2 + N_2 + He$. Сравнение полученных зависимостей с первым коэффициентом Таунсеида для N_2 и $CO_2 / 5$ указывает на правильность методического подхода.

На фиг.16 изображены расчетные и экспериментальные распределения $n(r)$ для N_2 в трубке с прокачиваемым (фиг.16 а, б, в) и непрокачиваемым (фиг.16 г, д, е) азотом, полученные из приведенных зависимостей, а на фиг.17 показаны расчетные и экспериментальные распределения $n(r)$ для CO_2 и его смесей с N_2 и He . Согласие эксперимента с расчетом нужно признать удовлетворительным. Зависимости, представленные на фиг.15 могут быть аппроксимированы выражениями:

$$10^{13} \cdot \int_0^R f(v) \cdot \sigma_{1N_2}(v) \cdot v \cdot dv \approx 1,092 \cdot 10^{-3} \cdot \exp(0,77 \cdot 10^{16} \cdot E/N) \quad (2.3)$$

$$10^{13} \cdot \int_0^R f(v) \cdot \sigma_{1CO_2}(v) \cdot v \cdot dv \approx 3,456 \cdot 10^{-5} \cdot \exp(1,363 \cdot 10^{16} \cdot E/N) \quad (2.4)$$

Отметим, что приведенные соотношения позволяют вычислять $n(r)$ при известной зависимости $T_r(r)$, но поскольку величина $n(r)$ из уравнения 2.2 определена с точностью до постоянного множителя, следует использовать выражение:

$$I_p = 2\pi e \int_0^R n(r) \cdot v_d(r) \cdot r \cdot dr \quad (2.5)$$

для нормировки абсолютного значения $n(r)$ (здесь I_p - ток разряда, e - заряд электрона, а v_d - скорость дрейфа электронов).

3. Среднее число соударений возбужденных молекул CO_2 и N_2 с стенку трубки, приводящее к девозбуждению. Концентрация возбужденных молекул

Сравнение экспериментов для N_2 в прокачиваемом и непрокачиваемом вариантах дает возможность установить среднее число соударений $\langle m \rangle$ возбужденной молекулы N_2^* со стенкой трубки, приводящее к девозбуждению молекулы, а также среднее по сечению трубки значение коэффициента возбуждения $\gamma = N_{N_2^*} / N_{N_2}$.

Действительно, погонная мощность, затрачиваемая на возбуждение молекул N_2 , может быть вычислена из соотношения:

$$Q^* = 2\pi e^* \int_0^R n(r) \cdot N_T(r) \cdot (v_{e+N_2 \rightarrow e+N_2^*} / N_T) \cdot r \cdot dr \quad (3.1)$$

С другой стороны, для стационарного процесса в отсутствие прокачки вся эта энергия необходимо передается стенкам трубки и это обстоятельство может быть записано в виде:

$$Q_T^* = \epsilon^* \cdot \frac{N_T(R) \cdot \langle v_{Tr} \rangle \cdot 2\pi R}{4} \cdot \frac{\gamma}{\langle m \rangle} \quad (3.2)$$

При наличии прокачки газа

$$Q^* = Q_T^* + 2\pi e^* \frac{\partial \gamma}{\partial z} \cdot \int_0^R N_T(r) \cdot v_{II}(r) \cdot r \cdot dr = Q_T^* + Q_v \cdot \frac{\partial \gamma}{\partial z} \quad (3.3)$$

Второй член в приведенной формуле соответствует мощности, уносимой возбужденными молекулами в потоке прокачиваемого газа (v_{II} - скорость потока).

Предполагая, что относительный энерговыход, передаваемый стенкам в прокачиваемом и непрокачиваемом вариантах, равны, а также энерговыходы Q^*/Q_p и Q_T^*/Q_p слабо меняются по длине трубки ($Q_p = E \cdot I_p$ - погонная мощность, вкладываемая в разряд), получим решение уравнения 3.3 в виде:

$$\gamma = \langle m \rangle \cdot \frac{Q^*}{Q_T^*} \cdot [1 - \exp(-z Q_T^* / \langle m \rangle \cdot Q_v)] \quad (3.4)$$

где $Q_v = 2\pi \epsilon^* \int_0^R N_T(r) \cdot v_{\Pi}(r) \cdot r \cdot dr$, а z - расстояние от входа газа в трубку до точки измерения (в нашем случае $z = 9$ см).

Введем безразмерную величину $\alpha_c = Q_c^*/Q_{pc}$, где индекс "с" относится к непрокачиваемому варианту. Согласно предположению $\alpha \approx \alpha_c$ и $Q_T^* = Q_p \cdot \alpha_c \cdot \langle m \rangle / \gamma$, в связи с чем возникает возможность переписать выражение 3.4 в виде

$$\langle m \rangle = - \frac{\alpha_c \cdot Q_p \cdot z}{Q_v \cdot \ln \left[\frac{Q^* - \alpha_c \cdot Q_p}{Q^*} \right]} \quad (3.5)$$

Соответствующие расчеты показали, что в области давлений $p \sim 4-7$ Торр, где отличия Q^*/Q_p и Q_c^*/Q_{pc} хорошо заметны

$$\langle m_{N_2} \rangle \approx 285 (\pm 10) \text{ ударов/квант} \quad (3.6)$$

$$\langle m_{CO_2} \rangle \approx 350 (\pm 20) \text{ ударов/квант}$$

Эти значения получены при температуре среды $T_F = (400+900)^\circ K$ для кварцевой поверхности.

Для смесей характерна передача энергии возбуждения между CO_2 и N_2 :

$$\begin{aligned} Q_{CO_2}^* &= \frac{\gamma_{CO_2}}{\langle m_{CO_2} \rangle} \cdot Q_{T_{CO_2}}^* + \frac{\partial \gamma_{CO_2}}{\partial z} \cdot Q_{V_{CO_2}} + \gamma_{CO_2} \cdot Q_{CO_2}^P - \gamma_{N_2} \cdot Q_{N_2}^P \\ Q_{N_2}^* &= \frac{\gamma_{N_2}}{\langle m_{N_2} \rangle} \cdot Q_{T_{N_2}}^* + \frac{\partial \gamma_{N_2}}{\partial z} \cdot Q_{V_{N_2}} + \gamma_{N_2} \cdot Q_{N_2}^P - \gamma_{CO_2} \cdot Q_{CO_2}^P \end{aligned} \quad (3.7)$$

где члены $\gamma_i \cdot Q_i^P$ появляются в связи с перекрестной перекачкой энергии от N_2^* к CO_2 и от CO_2^* к N_2 и имеют вид:

$$Q_i^P = 2\pi \epsilon^* \int_0^R \sigma_{ik}(r) \cdot N_i \cdot N_k \cdot \frac{v_{T_i}}{\lambda_{ik}} \cdot r \cdot dr$$

Предполагая, что $Q_i^P \gg Q_{V_i}, Q_{T_i}^*$, получим:

$$\gamma_i \approx \gamma_k \frac{Q_k^P}{Q_i^P}, \text{ причем } \frac{Q_{N_2}^P}{Q_{CO_2}^P} = \alpha \approx \frac{\lambda_{CO_2-N_2} \cdot v_{TN_2}}{\lambda_{N_2-CO_2} \cdot v_{T_{CO_2}}}$$

$$\approx \frac{4,27}{4,25} \cdot \sqrt{\frac{11}{7}}$$

Введем обозначения:

$$\begin{aligned} Q_{V_{CO_2}} &= \frac{p_{CO_2}}{p_{N_2}} \cdot Q_{V_{N_2}} = \beta \cdot Q_{V_{N_2}} \\ Q_{T_{CO_2}} &= Q_{T_{N_2}} \cdot \frac{p_{CO_2}}{p_{N_2}} \cdot \frac{v_{T_{CO_2}}}{v_{T_{N_2}}} = Q_{T_{N_2}} \cdot \beta \cdot \sqrt{\frac{7}{11}} = Q_{T_{N_2}} \cdot \delta \end{aligned}$$

Суммируя уравнения 3.7, получим:

$$Q^* = Q_{CO_2}^* + Q_{N_2}^* = \frac{\gamma_{CO_2}}{\langle m_{CO_2} \rangle} \cdot Q_{T_{CO_2}}^* + \frac{\gamma_{N_2}}{\langle m_{N_2} \rangle} \cdot Q_{T_{N_2}}^* + \frac{\partial \gamma_{CO_2}}{\partial z} \cdot Q_{V_{CO_2}} + \frac{\partial \gamma_{N_2}}{\partial z} \cdot Q_{V_{N_2}} \quad (3.8)$$

При соответствующих предположениях решение уравнения 3.8 имеет вид:

(3.9)

$$\gamma_{N_2} = \frac{Q^*}{Q_{T_{N_2}} \left[\frac{\alpha \delta}{\langle m_{CO_2} \rangle} + \frac{1}{\langle m_{N_2} \rangle} \right]} \left[1 - \exp \left\{ - \frac{Q_{T_{N_2}} \left[\frac{\alpha \delta}{\langle m_{CO_2} \rangle} + \frac{1}{\langle m_{N_2} \rangle} \right]}{(\alpha \beta + 1) \cdot Q_{V_{N_2}}} z \right\} \right]$$

Полученные уравнения позволяют рассчитать интересующие нас величины. На фиг.18в,с и фиг.19 в,г приведены результаты такого расчета.

4. Диссоциация молекул N_2 и CO_2 в разряде

Если на график зависимости относительных вкладов мощности от давления в трубке отложить величины Q_T/Q_p и $1 - Q^*/Q_p$, то для N_2 в случае без прокачки уравнение баланса энергии хорошо выполняется (фиг.18 д), т.е.

$$Q_p = Q^* + Q_T$$

Здесь $Q_T = 2\pi R \cdot \kappa(R) \cdot \left[\frac{\partial T_F}{\partial r} \right]_{r=R}$ - погонная мощность, выносимая из разряда на стенки трубки за счет теплопроводности газа, κ - определяется из экспериментального значения T_F .

Однако в экспериментах с прокачкой газа как для чистого азота, так и для смесей его с CO_2 и He $Q_p > Q^* + Q_T$ во всем диапазоне измерений (фиг.18 б и фиг.19 б соответственно).

Невольно напрашивается вывод, что существует такой долгоживущий агент, который даже при незначительной прокачке уносит с собой неконтролируемую часть энергии разряда.

Таким агентом могут быть диссоциированные молекулы N_2 ($\text{N}_2 + e \rightarrow 2\text{N} + e - W_d$). При этом энергия диссоциации электронным ударом W_d может значительно превышать энергию связи атомов азота в молекуле W_c . В связи с чем после процесса диссоциации отдельные атомы уносят с собой возникающую разницу $\Delta W = W_d - W_c$ и далее бинарными соударениями передают ее на нагрев газа.

Поскольку, согласно оценкам, энерговыход процессов ионизации и излучения в тлеющем разряде достаточно мал (это подтверждается также в эксперименте без прокачки для N_2 , см.фиг.18д), то следует считать, что Q_T складывается из ΔW , рассеиваемой бинарными соударениями в газе и энергии, выделяемой в результате реакции $\text{N} + \text{N} + \text{N}_2 \rightarrow 2\text{N}_2 + W_c$. Тогда мощность, затрачиваемая на диссоциацию: $Q_p - Q^* = 2\pi W_d \cdot \langle v_{\text{N}_2 \rightarrow 2\text{N}} / N_T \rangle \cdot \int_0^R N_T \cdot n \cdot r \cdot dr$, а мощность, переданная газу атомарным азотом после акта диссоциации: $Q_T - Q_T^a = 2\pi(W_d - W_c) \cdot \langle v_{\text{N}_2 \rightarrow 2\text{N}} / N_T \rangle \cdot \int_0^R N_T \cdot n \cdot r \cdot dr$, где Q_T^a - мощность, выделяющаяся за счет реакции $\text{N} + \text{N} + \text{N}_2 \rightarrow 2\text{N} + W_c$.

Т.к. энергия связи и энергия диссоциации для N_2 хорошо известны: $W_d = 156,4 \cdot 10^{-20}$ дж/молек., $W_c = 118,4 \cdot 10^{-20}$ дж/молек., то из приведенных уравнений и экспериментальных данных представляется возможность вычислить значения $v_{\text{N}_2 + e \rightarrow 2\text{N} + e} / N_{\text{N}_2} = \int_0^\infty f(v) \cdot \sigma_d(v) \cdot v \cdot dv$, как функцию E/N и величины $Q_T^a(N_{\text{N}_2}, \beta)$, где β - относительная концентрация диссоциированных молекул. Полученные результаты изображены на фиг.20, а зависимость скорости диссоциации азота от E/N может быть аппроксимирована формулой:

$$10^9 \cdot \int_0^\infty f(v) \cdot \sigma_{\text{N}_2 \rightarrow 2\text{N}}(v) \cdot v \cdot dv \approx 1,86 \cdot 10^{-2} \cdot \exp(0,376 \cdot 10^{16} E/N) \quad (4.1)$$

где $[E/N] = v \cdot \text{см}^2$.

Можно показать, что в первом приближении задачи частота тройных соударений, $\text{N} + \text{N} + \text{N}_2$, приводящих к образованию молекул N_2 пропорциональна $\sim \beta^2$. Таким образом можно написать: $Q_T^a \approx \beta^2 \cdot Q_c$.

Напишем уравнение энергетического баланса с учетом этого обстоятельства. Введем обозначение: $Q_s = Q_p - Q^* - (Q_T - Q_T^a)$, тогда

$$Q_s \approx \frac{\partial \beta}{\partial z} \cdot Q_v + \beta^2 \cdot Q_c$$

где $Q_v = 2\pi \cdot W_c \int_0^R N_T(r) \cdot v_{\text{N}}(r) \cdot r \cdot dr$

Интегрируя это уравнение в предположении независимости соответствующих энерговыходов от z , получим:

$$\beta \approx \sqrt{Q_s/Q_c} \cdot \frac{\exp(2z \cdot \sqrt{Q_s/Q_v}) - 1}{\exp(2z \cdot \sqrt{Q_s/Q_v}) + 1} \quad (4.2)$$

Определяя отсюда $\frac{\partial \beta}{\partial z}$ и соотнося эту величину с исходным уравнением, получим:

$$Q_c = 16 \cdot Q_v; \quad \beta = \sqrt{Q_T^a/Q_c} \quad (4.3)$$

Подставляя соответствующие экспериментальные значения в формулы 4.3, получим полуэмпирическую формулу для частоты тройных соударений приводящих к образованию молекул N_2

$$v_{2\text{N} + \text{N}_2 \rightarrow 2\text{N}_2} \approx (23,1 \pm 2,5) \cdot 10^{-10} (N_T/10^{16})^2 \beta^2 / (1 + 5,6\beta)^4 \quad (4.4)$$

Значения β , вычисленные по приведенным формулам, приведены на фиг.21. Для диссоциации CO_2 мы имеем следующие уравнения:

а) Мощность, затрачиваемая на диссоциацию молекул CO_2 :

$$Q_p - Q^* = 2\pi \cdot W_{\text{CO}_2} \int_0^R N_T \cdot n \cdot \left(\int_0^\infty f(v) \cdot \sigma_{\text{CO}_2 \rightarrow \text{CO} + \text{O}} \cdot v \cdot dv \right) \cdot r \cdot dr \quad (4.5)$$

б) Мощность, уносимая потоком газа:

$$Q_{\Pi} = 2\pi \cdot W_{C_{CO_2}} \cdot \int_0^R N_T \cdot n \cdot \left(\int_0^{\infty} f(v) \cdot \sigma_{CO_2 \rightarrow CO+O} \cdot v \cdot dv \right) \cdot r \cdot dr \quad (4.6)$$

в) Мощность, оседающая в виде тепла за счет разницы между энергией диссоциации и энергией связи и за счет тройных соударений, приводящих к образованию O_2 и CO_2 :

$$Q_T = 2\pi(W_{\Pi} - W_C) \cdot \int_0^R N_T \cdot n \cdot \left(\int_0^{\infty} f(v) \cdot \sigma_{CO_2 \rightarrow CO+O} \cdot v \cdot dv \right) \cdot r \cdot dr + \beta^2 Q_C \quad (4.7)$$

где $Q_C \approx W_{CO_2} \cdot \alpha \cdot (N_T/10^{16})^2$, а $W_{CO_2} \approx W_{CO_2}$

г) Мощность, оседающая в виде тепла и уносимая потоком за счет производства атомарного O :

$$\frac{1}{2} W_{CO_2} \cdot 2\pi \int_0^R N_T \cdot n \cdot \left(\int_0^{\infty} f(v) \cdot \sigma_{CO_2 \rightarrow CO+O} \cdot v \cdot dv \right) \cdot r \cdot dr = \frac{\partial \beta}{\partial z} Q_{VO_2} + \beta^2 \cdot Q_C \quad (4.8)$$

Вычитая из (4.5) - (4.7), получим:

$$Q_{\Pi} - Q_P + Q^* + Q_T = \frac{\partial \beta}{\partial z} Q_{VO_2} + \beta^2 \cdot Q_C \quad (4.9)$$

Из 4.5

$$2\pi \int_0^R N_T \cdot n \cdot \left(\int_0^{\infty} f(v) \cdot \sigma_{CO_2 \rightarrow CO+O} \cdot v \cdot dv \right) \cdot r \cdot dr = \frac{Q_P - Q^*}{W_{\Pi CO_2}}$$

и подставим в 4.8:

$$\frac{1}{2} W_{CO_2} \cdot \frac{Q_P - Q^*}{W_{\Pi CO_2}} = \frac{\partial \beta}{\partial z} Q_{VO_2} + \beta^2 \cdot Q_C \quad (4.10)$$

В результате, после соответствующих несложных расчетов, имеем:

$$Q_C = 16 \cdot Q_V ; \quad \beta = \sqrt{\frac{Q_T - (Q_P - Q^*) \cdot (1 - W_C/W_{\Pi})}{16 \cdot Q_V}} \quad (4.11)$$

Энергии соответствующих процессов:

$$\begin{aligned} W_{\Pi CO_2 \rightarrow CO+O} &\approx 126 \cdot 10^{-20} \text{ Дж/молек.} \\ W_{C_{CO+O \rightarrow CO_2}} &\approx 87,94 \cdot 10^{-20} \text{ Дж/молек.} \\ W_{C_{O+O \rightarrow O_2}} &\approx 82 \cdot 10^{-20} \text{ Дж/молек.} \end{aligned}$$

Полуэмпирические формулы для частоты тройных соударений в 1 см^3 газа, приводящих к образованию CO_2 и O_2 , полученные из данных эксперимента с помощью приведенных формул могут быть записаны в виде:

$$v_{O+O+CO_2 \rightarrow O_2+CO_2} \approx (0,246 \pm 0,03) \cdot 10^{-10} \cdot (N_{CO_2}/10^{16})^2 \cdot \beta^2 / (1+5\beta)^4 \quad (4.12)$$

$$v_{O+CO+CO_2 \rightarrow 2CO_2} \approx (1,1 \pm 0,1) \cdot 10^{-10} \cdot (N_{CO_2}/10^{16})^2 \cdot \beta^2 / (1+5\beta)^4 \quad (4.13)$$

Несмотря на недостаток экспериментальных данных для чистого CO_2 , теория позволяет для расчета зависимости $v_{CO_2+e \rightarrow CO+O+e} = \psi(E/N)$ использовать данные для смесей $CO_2 + N_2 + He$. Действительно:

$$Q_P - Q^* = 2\pi \left[W_{\Pi N_2} \cdot \int_0^{\infty} f(v) \cdot \sigma_{N_2 \rightarrow 2N} \cdot v \cdot dv + \frac{P_{CO_2}}{P_{N_2}} W_{\Pi CO_2} \cdot \int_0^{\infty} f(v) \cdot \sigma_{CO_2 \rightarrow CO+O} \cdot v \cdot dv \right] \cdot \int_0^R N_{N_2} \cdot n \cdot r \cdot dr$$

откуда:

$$\int_0^{\infty} f(v) \cdot \sigma_{CO_2 \rightarrow CO+O} \cdot v \cdot dv = \frac{P_{N_2}}{P_{CO_2}} [Q_P - Q^* - W_{\Pi N_2} \cdot \int_0^{\infty} f(v) \cdot \sigma_{N_2 \rightarrow 2N} \cdot v \cdot dv \cdot 2\pi \int_0^R N_{N_2} \cdot n \cdot r \cdot dr] \cdot [W_{\Pi CO_2} \cdot 2\pi \int_0^R N_{N_2} \cdot n \cdot r \cdot dr]^{-1} \quad (4.14)$$

Особый случай составляет смесь $CO_2 + N_2$ без добавки He ,

где из-за большой скорости дрейфа происходит "сдвиг" $f(\epsilon)$ электронов на величину $\sim 0,1$ эв.

Поскольку для $f(\epsilon)$ азота и его смесей существует плато в районе $E/N \approx (5-10) \cdot 10^{-16}$ в см², то все процессы (вплоть до ионизации) мы должны рассматривать как бы при E/N , соответствующих $\langle \epsilon \rangle \approx 0,1$ эв, т.е. при значительно больших E/N , чем реально существующие.

Наиболее значительно это сказывается на процессах диссоциации.

Соответствующие вычисления, проведенные для чистого CO₂ и CO₂ в смесях с N₂ и He с учетом приведенных соображений, позволяют построить искомую зависимость (см. фиг.20). Зависимость частоты диссоциации CO₂ от E/N , представленная на фиг.20, может быть аппроксимирована формулой:

$$10^9 \cdot \int_0^{\infty} f(v) \cdot \sigma_{CO_2 \rightarrow CO+O} \cdot v \cdot dv \approx 3,7 \cdot 10^{-2} \cdot \exp(0,441 \cdot 10^{16} \cdot E/N) \quad (4.15)$$

5. Скорость дрейфа электронов в разряде

Эксперименты в коаксиальной геометрии с магнитным полем, а также эксперименты в цилиндрической геометрии позволили построить зависимость величины скорости дрейфа электронов от параметра E/N для смесей CO₂ + N₂ + He и добавить несколько точек к имеющейся зависимости $v_d(E/N)$ для CO₂.

При этом учитывалось, что в магнитном поле скорость дрейфа электронов обратно пропорциональна величине $1/(1 + \omega_L^2 \tau^2)$, где

$$\omega_L = \frac{eH}{mc} \quad - \text{ларморовская частота, а } \frac{1}{\tau} = \sum_i \nu_i \quad \text{и}$$

$$\nu_i = N_i \int_0^{\infty} f(v) \cdot \sigma_i(v) \cdot v \cdot dv$$

Для трубки величина $\langle v_d \rangle$ определялась из выражения:

$$\langle v_d \rangle = I_p \cdot \left[2\pi e \int_0^R n \cdot r \cdot dr \right]^{-1} \quad (5.1)$$

Полученные таким образом величины сведены на фиг.22.

6. Заключение

Для решения общей задачи о тлеющем разряде необходимо составить следующие уравнения:

а) Уравнение, связывающее вкладываемую в разряд мощность и распределение этой мощности по различным каналам:

$$E \cdot j_p = n \cdot \sum_k \epsilon_k \cdot N_k \cdot \int_0^{\infty} f(v) \cdot \sigma_k(v) \cdot v \cdot dv,$$

где $\int_0^{\infty} f(v) \cdot \sigma_k(v) \cdot v \cdot dv = \phi(E/N),$

$$a \quad j_p = e \cdot n \cdot v_d(E/N) \quad (6.1)$$

б) Уравнение, учитывающее реакции с выделением тепла:

$$q_T = \sum_k (W_{Dk} - W_{Ck}) \cdot N_{T_k} \cdot n \cdot \int_0^{\infty} f(v) \cdot \sigma_{Dk}(v) \cdot v \cdot dv +$$

$$+ \alpha_k \cdot W_{Ck} \cdot \beta_k^2 \cdot (N_{T_k} / 10^{16})^2 \cdot (1 + \beta_k \cdot A)^4 \quad (6.2)$$

в) Уравнения, описывающие вынос энергии и плазмы из объема, зависящие от геометрии и специфики разряда. Так для стационарного цилиндрического случая без прокачки это будут:

1) уравнение теплопроводности

$$q'_T = - \frac{1}{r} \frac{\partial}{\partial r} [r \cdot \kappa(r) \cdot \frac{\partial T_T}{\partial r}] \quad (6.3)$$

2) уравнение диффузии плазмы:

$$\eta(r) \cdot T_T(r) \cdot \frac{1}{r} \frac{\partial}{\partial r} [r \cdot \sqrt{\langle \epsilon(r) \rangle} \cdot T_T(r) \frac{\partial n}{\partial r}] = - n(r) \quad (6.4)$$

где $\eta(r) \approx 15,58 \cdot 10^{-20} \cdot l \cdot [p_0^2 \cdot \sqrt{M} \cdot \int_0^{\infty} f(v,r) \cdot \sigma_i(v) \cdot v \cdot dv]^{-1}$

l - длина пробега системы электрон-ион при давлении l Торр и $T=0^\circ\text{C}$ в газе, умноженная на 10^3 , $[p]=\text{Торр}$; $[\epsilon]=\text{эв}$;
 M - молекулярный вес.

Для случая с прокачкой газа необходимо учитывать вынос тепловой энергии потоком:

$$q_T'' = (W_d - W_c) \cdot N_T \cdot n \cdot \int_0^{\infty} f(v) \cdot \sigma_D(v) \cdot v \cdot dv -$$

$$- W_c \cdot \alpha \cdot \beta^2 (N_T / 10^{16})^2 \cdot (1 + A \cdot \beta) + q_{II}^* =$$

$$= \left[\frac{\partial \beta}{\partial z} \cdot W_c + \frac{\partial \gamma}{\partial z} \cdot \epsilon^* \right] \cdot N_T \cdot v_{II} \quad (6.5)$$

$$\gamma = \langle m \rangle \cdot \frac{Q_T^*}{Q_V^*} \cdot \left[1 - \exp\left(-\frac{Q_T^*}{\langle m \rangle \cdot Q_V} \cdot z\right) \right], \text{ (выражение для } \beta \text{ см. в$$

тексте)

где $Q_V = \int_S N_T \cdot \epsilon^* \cdot v_{II} \cdot ds$, $Q_T^* = \frac{Y}{\langle m \rangle} \cdot \epsilon^* \cdot N(R) \cdot v_{T_T}(R) \cdot 2\pi R / 4$

$$\beta = 4 \sqrt{q_S / q_V} \left[\exp(2z \sqrt{q_S / q_V}) - 1 \right] \cdot \left[\exp(2z \sqrt{q_S / q_V}) + 1 \right]^{-1},$$

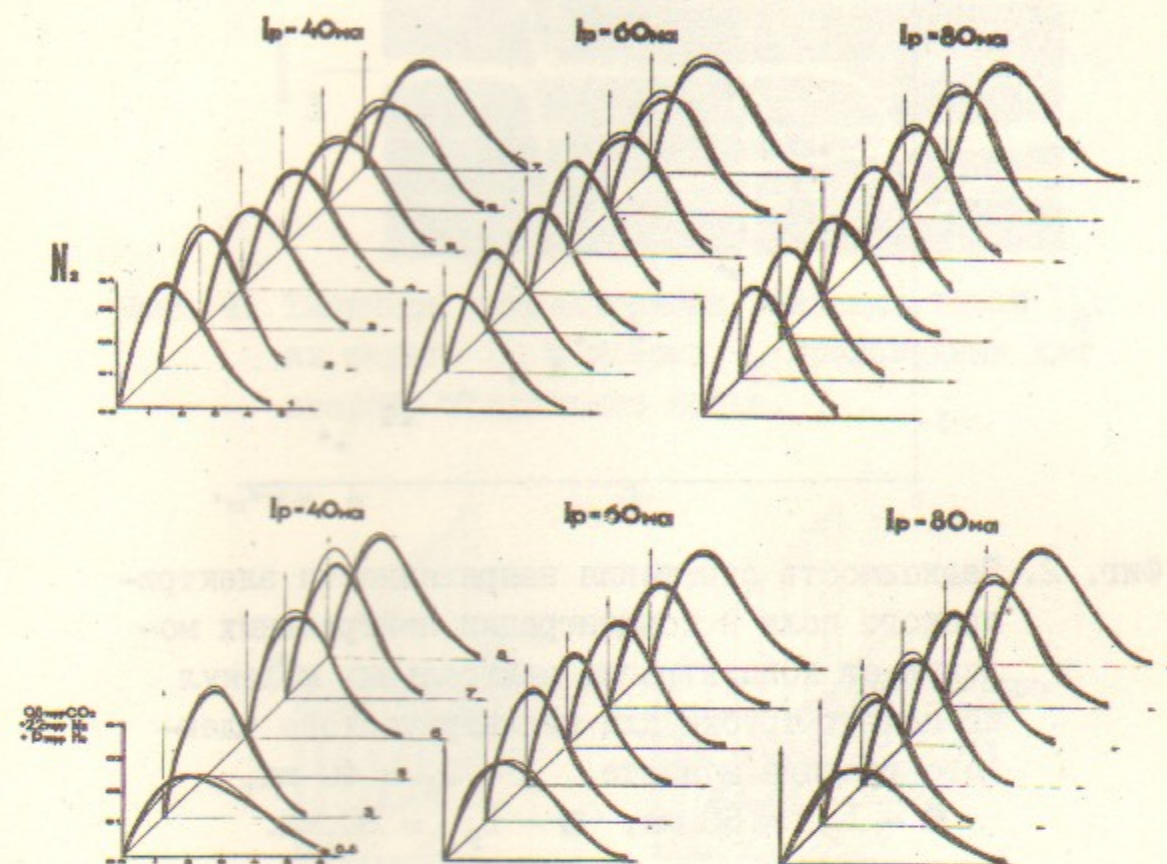
$$q_S = W_c \cdot n \cdot N_T \cdot \int_0^{\infty} f(v) \cdot \sigma_D(v) \cdot v \cdot dv, \quad q_V = N_T \cdot W_c \cdot v_{II};$$

$$Q^* = 2\pi \epsilon^* \cdot \int_0^R N_T(r) \cdot n(r) \cdot \left(\int_0^{\infty} f(v, r) \cdot \sigma^*(v) \cdot v \cdot dv \right) \cdot r \cdot dr$$

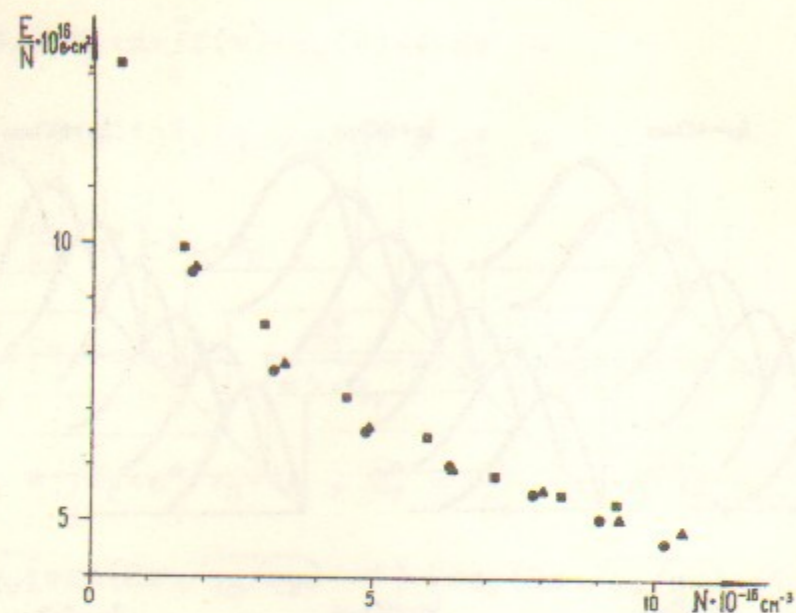
В случае импульсного разряда, когда скорости процессов диффузии оказываются малы, задача упрощается.

Из сказанного видно, что результаты экспериментов совместно с приведенными формулами позволяют построить замкнутый алгоритм для расчета тлеющего разряда.

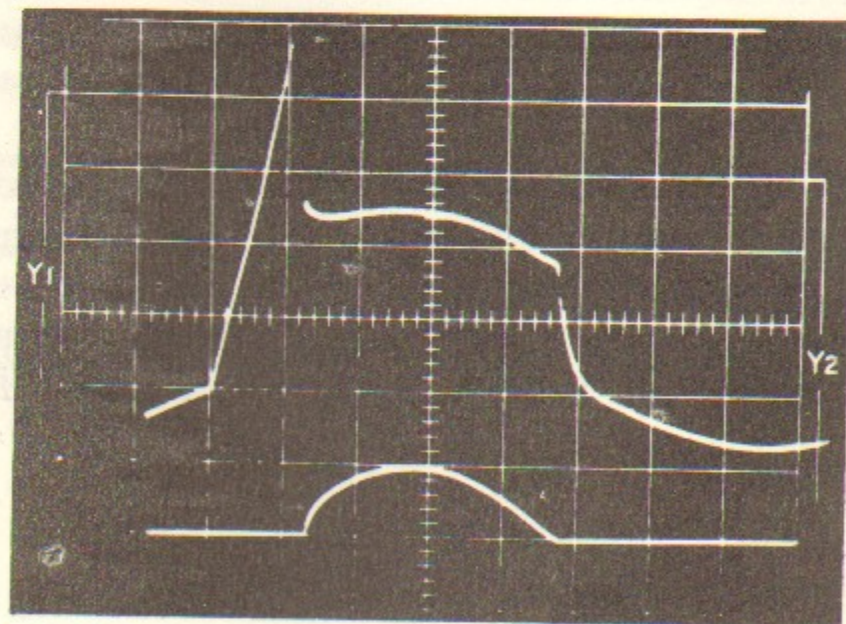
В заключение считаю своим долгом принести благодарность Данилову В.В. за непосредственное участие в постановке эксперимента, а также Лукьянову В.Н. и Шульженко Г.И. за постановку эксперимента по калибровке термопар.



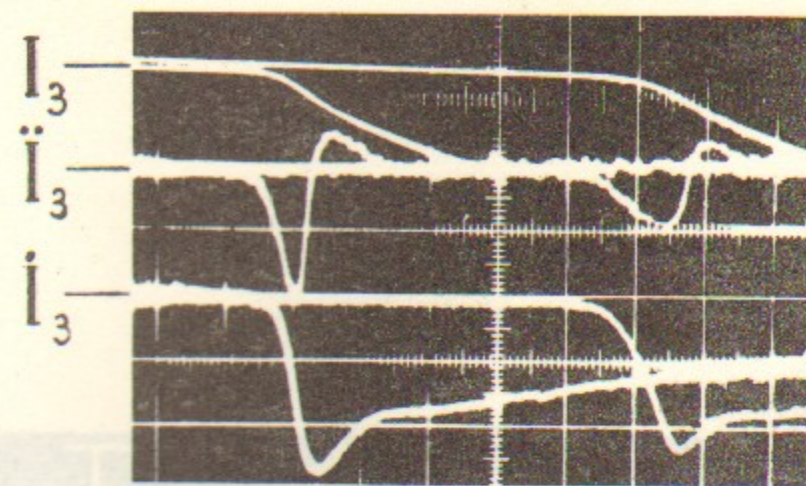
Фиг. I. Экспериментальные значения функций распределения электронов по энергиям $f(\epsilon)$ для цилиндрического тлеющего разряда а) - случай чистого азота, б) CO_2 и его смеси с N_2 и He, приготовленные по процедуре, изложенной на стр. 3. Всюду $\int_0^{\infty} f(\epsilon) \cdot d\epsilon = 1$.



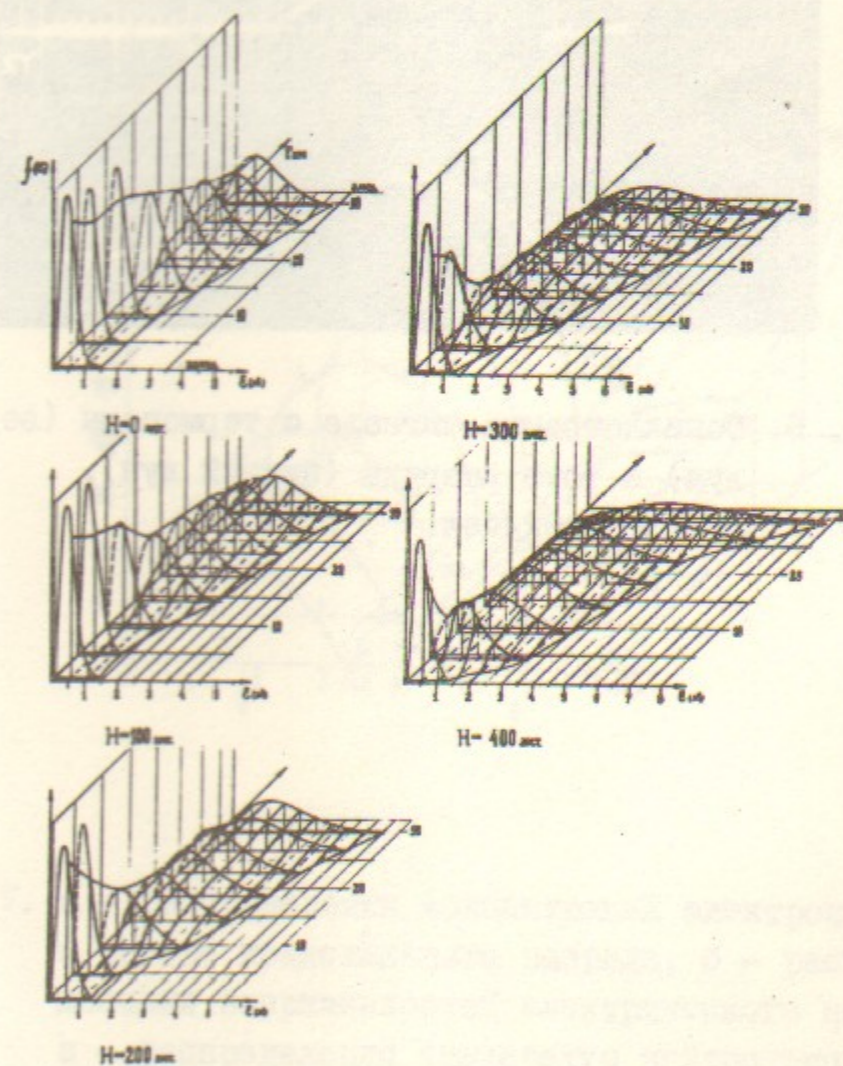
Фиг. 2. Зависимость отношения напряженности электрического поля к концентрации нейтральных молекул от концентрации нейтральных молекул по центру трубки для цилиндрического тлеющего разряда в азоте. \blacktriangle - $I_p = 40$ ма, \bullet - $I_p = 60$ ма, \blacksquare - $I_p = 80$ ма.



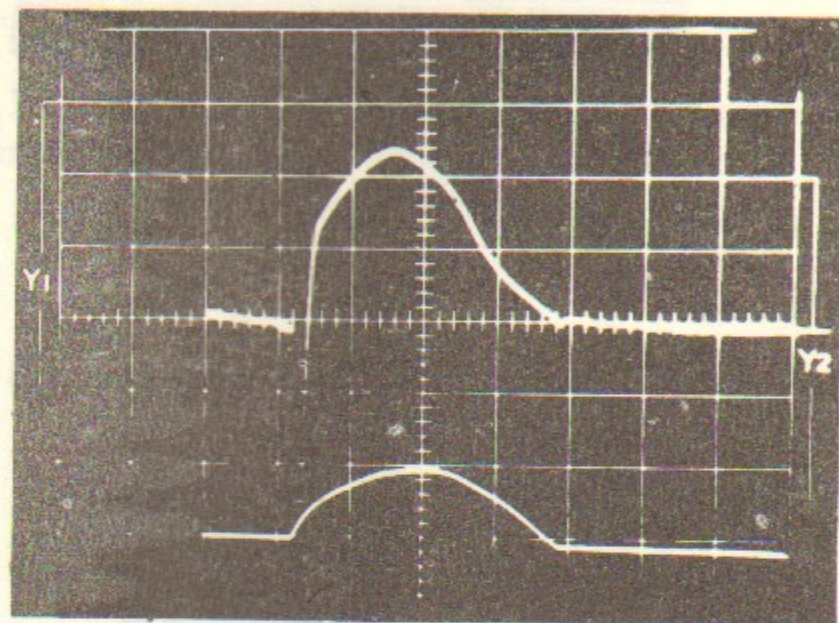
Фиг. 3. Осциллограмма напряжения (верхний луч) и тока (нижний луч) для разряда в коаксиальной геометрии. Чувствительности: $S_1 = 200$ в/дел., $S_2 = 8$ а/дел., $\tau = 2$ мсек/дел.



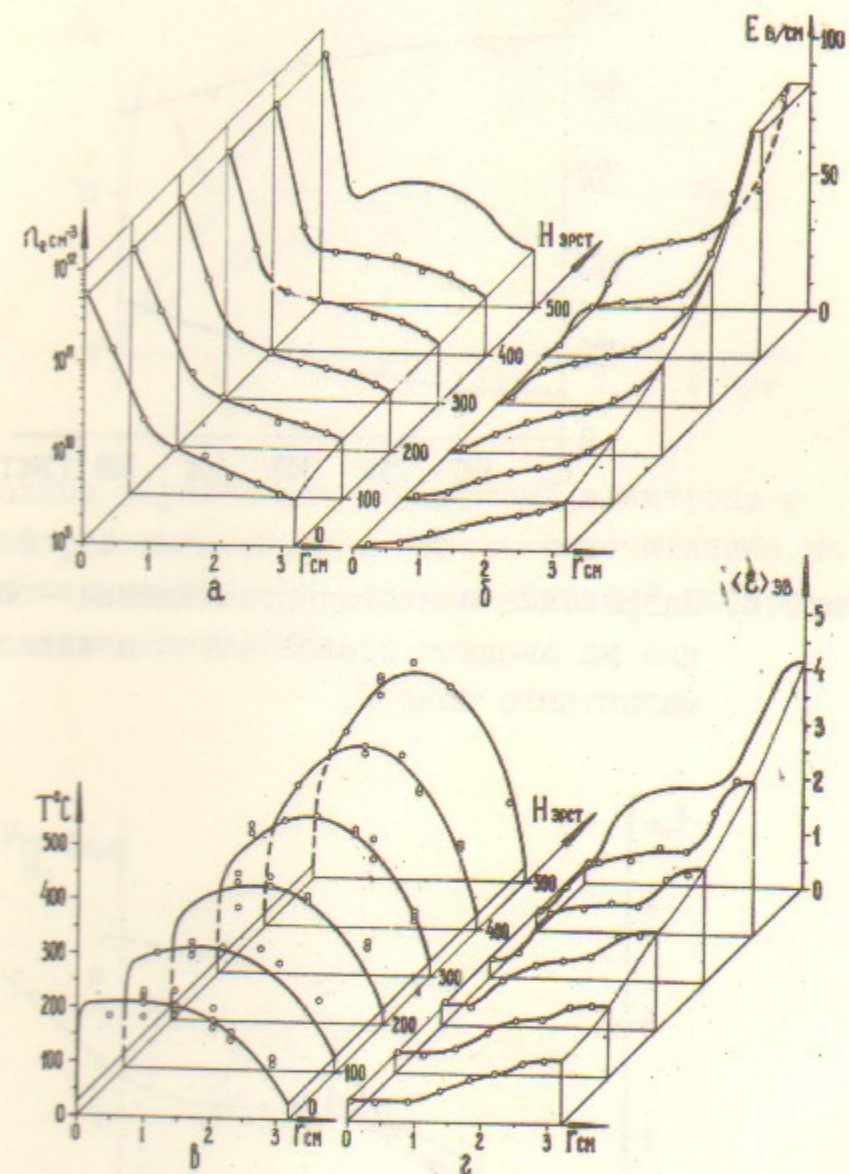
Фиг. 4. Типичная осциллограмма зондовых токов I_3 , их первых \dot{I}_3 и вторых \ddot{I}_3 производных для второго и третьего зонда.



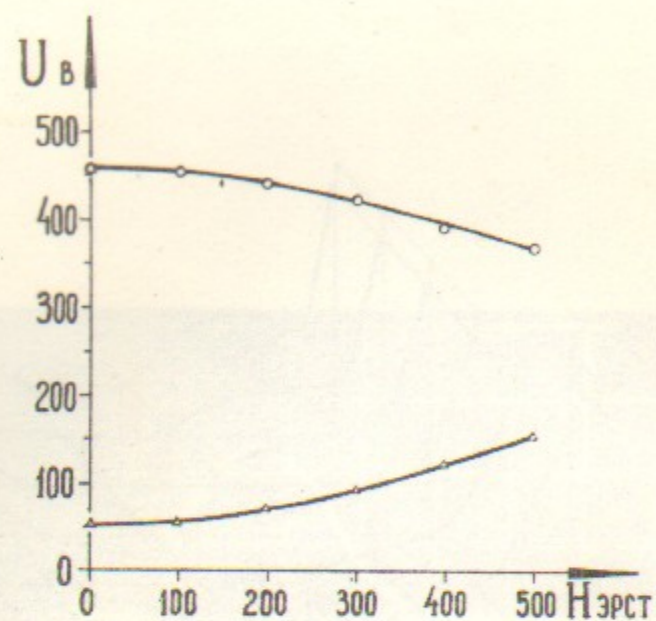
Фиг. 5. Эволюция функции распределения электронов по энергиям в коаксиальном разряде.



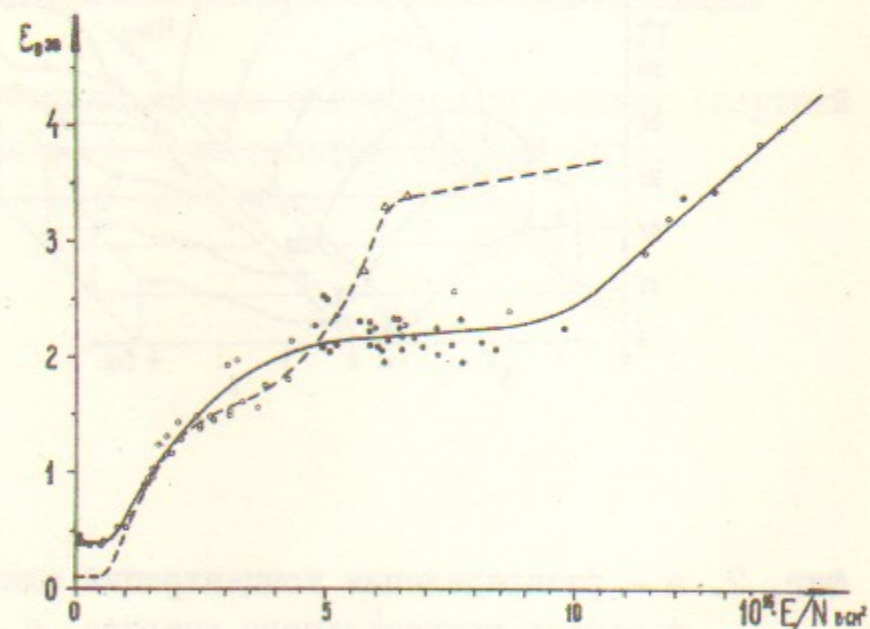
Фиг. 6. Осциллограмма сигнала с термопары (верхний луч) и тока разряда (нижний луч).
 $\tau = 2$ мсек/дел.



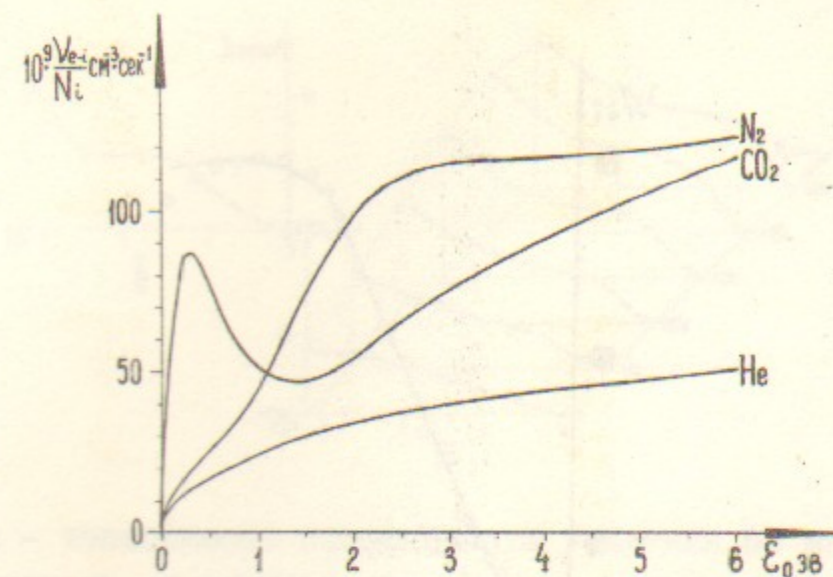
Фиг. 7. а - распределения концентраций электронов в зазоре коаксиального разряда, б - распределения напряженностей электрического поля, в - распределения температур нейтрального газа и г - распределения средних энергий электронов ($\langle \epsilon \rangle = \int f(\epsilon) \cdot \epsilon \cdot d\epsilon$) в зависимости от магнитного поля H.



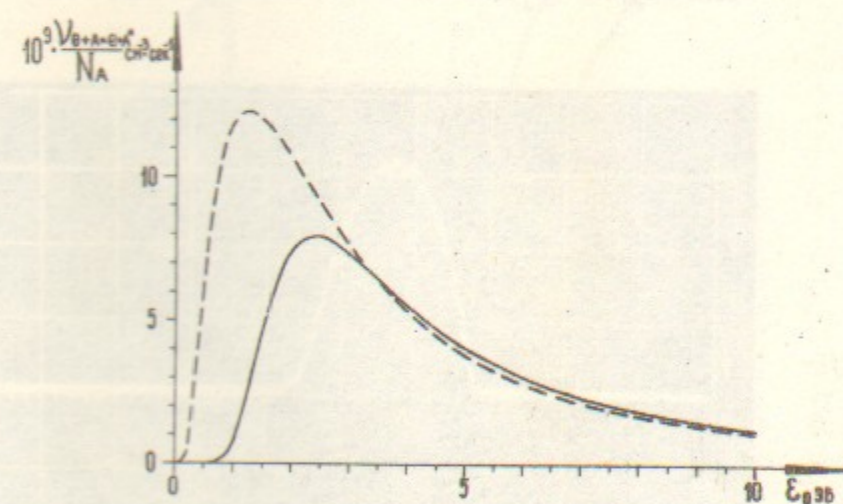
Фиг. 8. Напряжение прикатодного падения - U и напряжение на анодном столбе - Δ в зависимости от магнитного поля H .



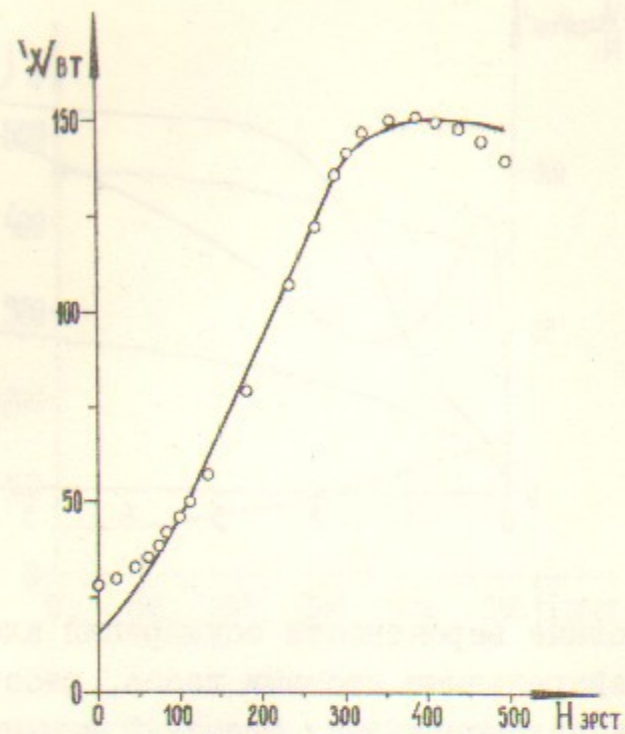
Фиг. 9. Параметр ϵ_0 для чистого N_2 и его смесей с CO_2 и He (сплошная кривая) в зависимости от E/N . Штриховая линия - результат теоретического расчета для чистого CO_2 , здесь же символом Δ отмечены три экспериментальные точки. Символы: \circ - коаксиал, смесь $0,8CO_2+2,2N_2+5He$; \bullet - цилиндрический разряд, смеси; \bullet - цилиндр. разряд, N_2 .



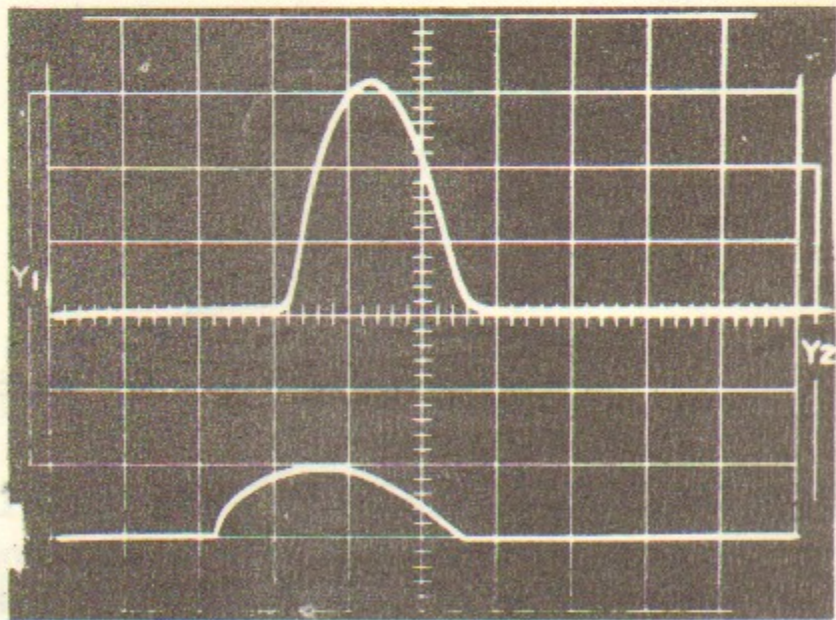
Фиг. 10. Полные вероятности соударений электрона с нейтральными атомами газов, рассчитанные из экспериментальных значений функций распределения электронов.



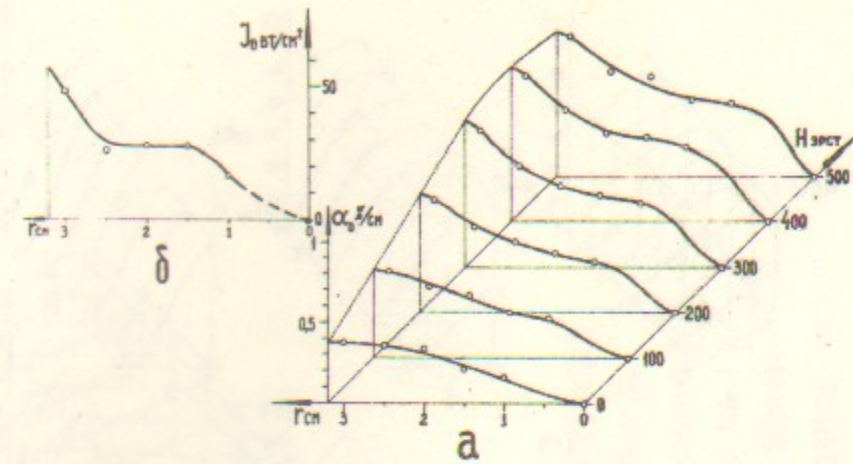
Фиг. 11. Вероятности возбуждения азота ($\nu = I + 8$) - (сплошная линия) и CO_2 (штриховая линия), рассчитанные из экспериментальных значений функций распределения электронов.



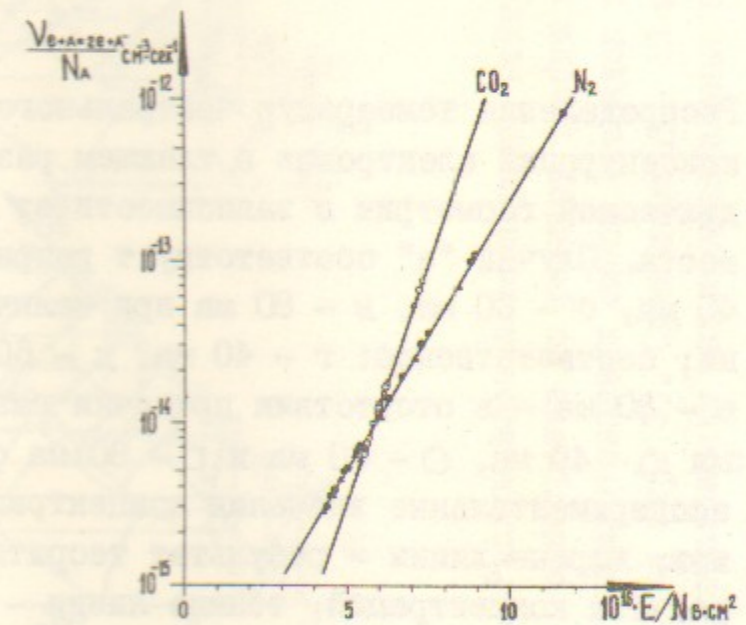
Фиг. 12. Зависимость выхода мощности из коаксиальной модели от величины магнитного поля. Точки — эксперимент, сплошная линия — расчет.



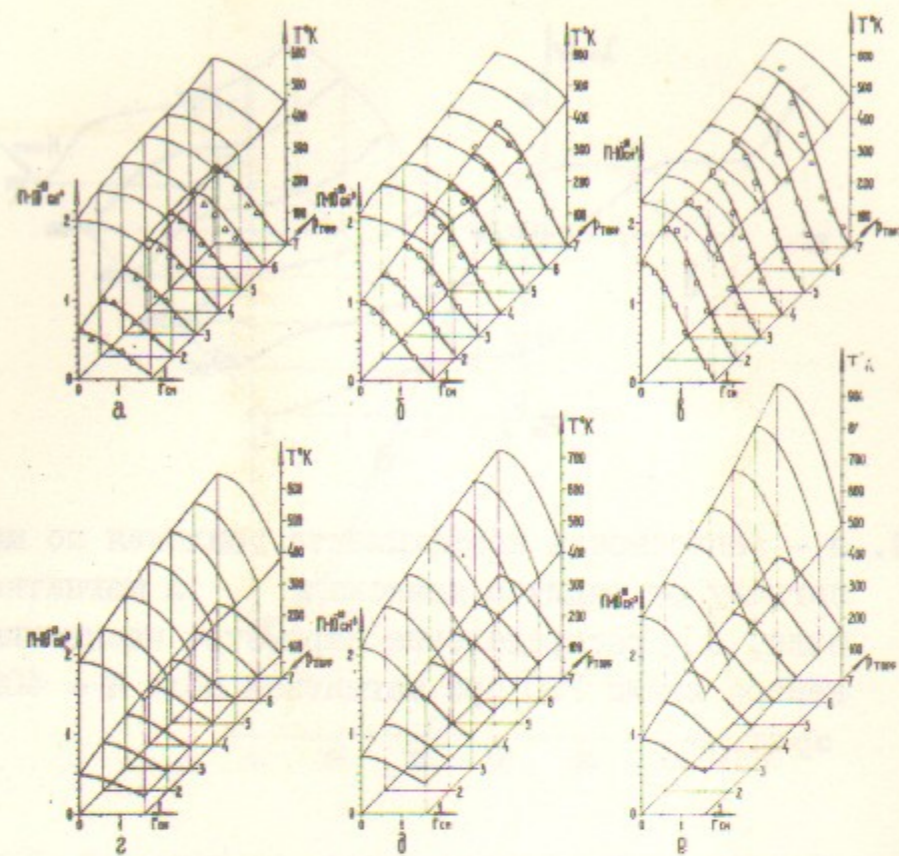
Фиг. 13. Осциллограмма выхода мощности (верхний луч) и разрядного тока (нижний луч). $\tau = 2$ мсек/дел.



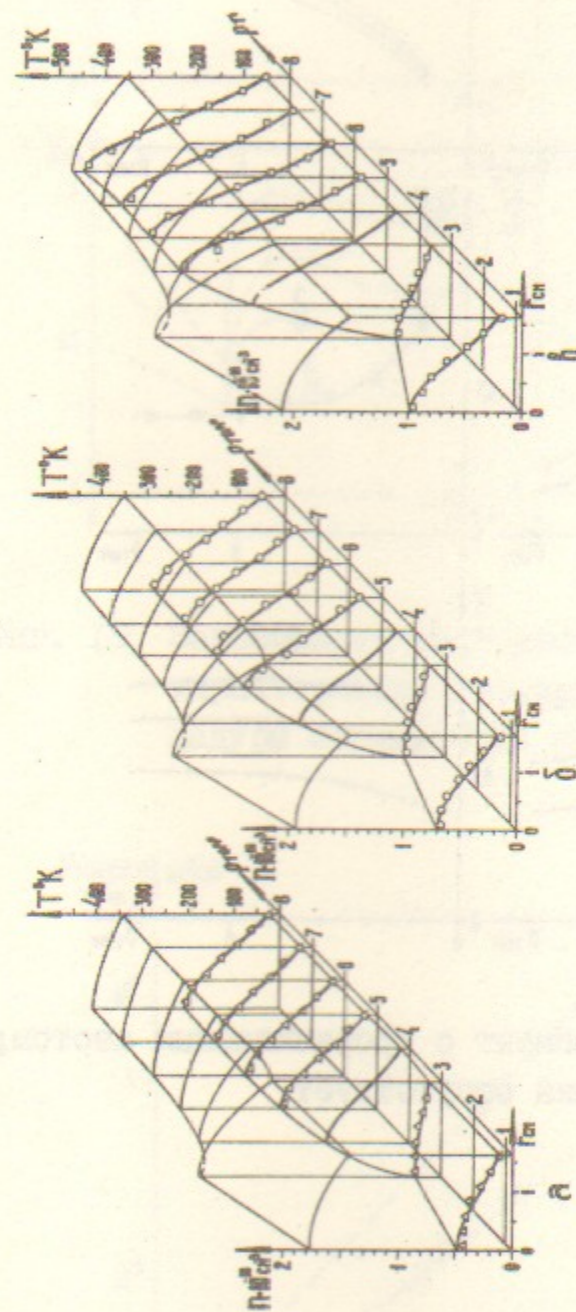
Фиг. 14. а — зависимость коэффициента усиления по малому сигналу от радиуса коаксиала и магнитного поля, б — распределение параметра насыщения в центре линии P20 при магнитном поле $H = 400$ эрст.



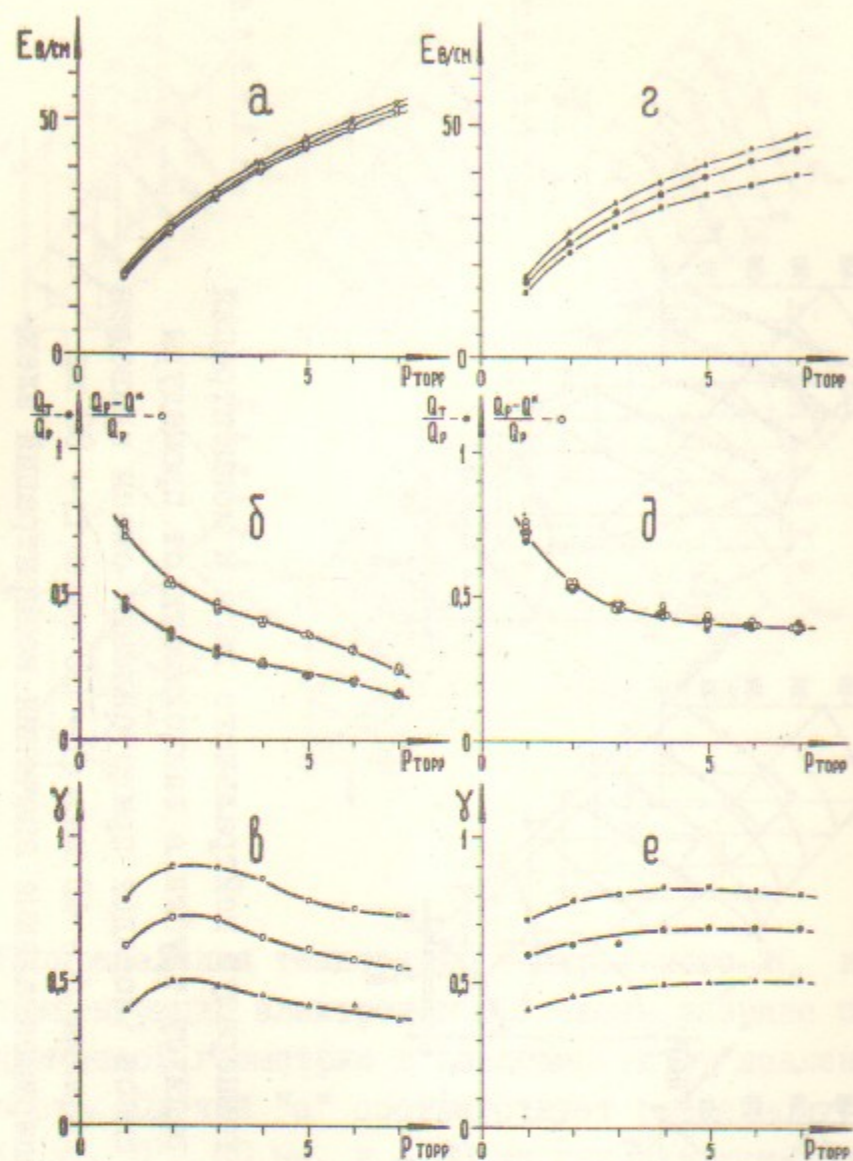
Фиг. 15. Вероятность процессов ионизации азота и CO_2 , рассчитанная из экспериментальных данных для цилиндрического разряда.



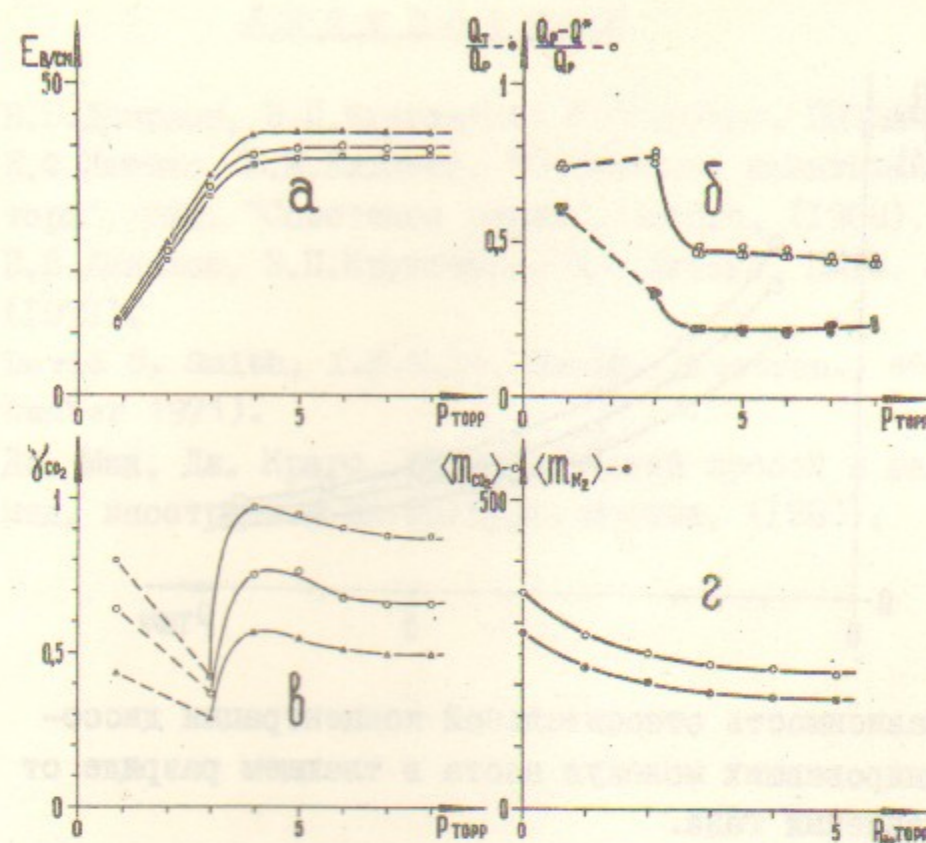
Фиг. 16. Распределения температур нейтрального N_2 и концентраций электронов в тлеющем разряде цилиндрической геометрии в зависимости от давления азота. Случай "а" соответствует разрядному току 40 ма, б - 60 ма, в - 80 ма при наличии прокачки; соответственно: г - 40 ма, д - 60 ма, е - 80 ма - в отсутствии прокачки газа. Символами Δ - 40 ма, \circ - 60 ма и \square - 80 ма обозначены экспериментальные значения концентраций электронов, жирные линии - результат теоритического расчёта концентраций, тонкие линии - экспериментальные распределения температур нейтрального газа.



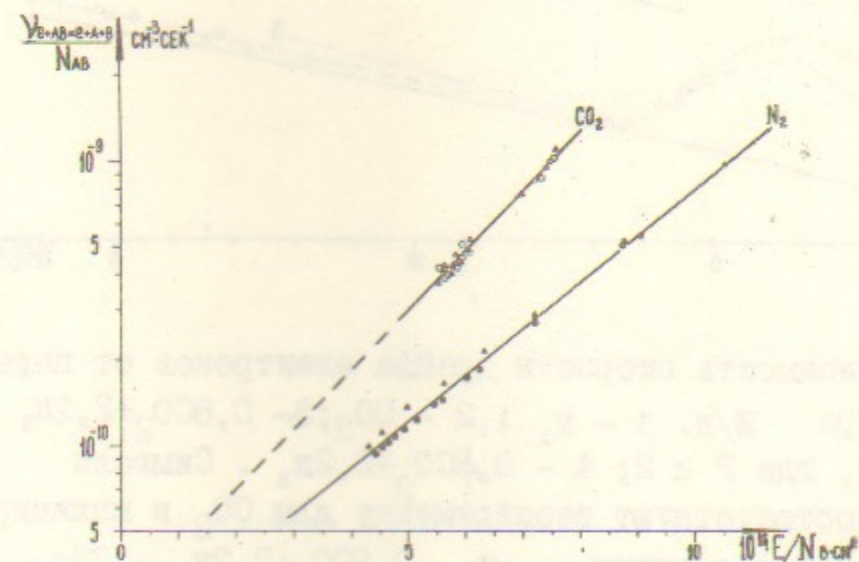
Фиг. 17. Распределения температур нейтрального газа и концентраций электронов по радиусу трубки в зависимости от процедуры приготовления смеси (порядок приготовления смеси приведен на стр. 3). Символами Δ - 40 ма, \circ - 60 ма и \square - 80 ма обозначены экспериментальные значения концентраций электронов, жирные линии - результат теоритического расчёта концентраций, тонкие линии - экспериментальные распределения температур нейтрального газа.



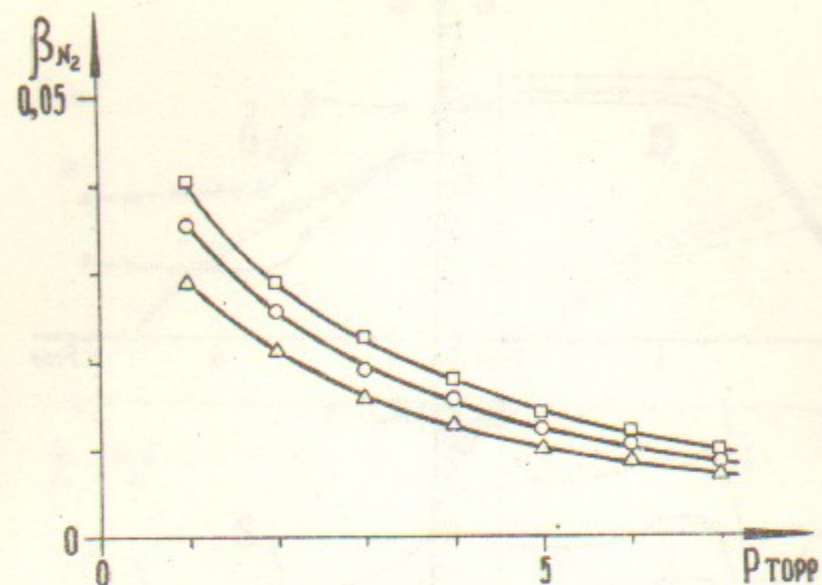
Фиг. 18. а, б, в - эксперимент с прокачиваемым азотом; г, д, е - прокачка отсутствует.



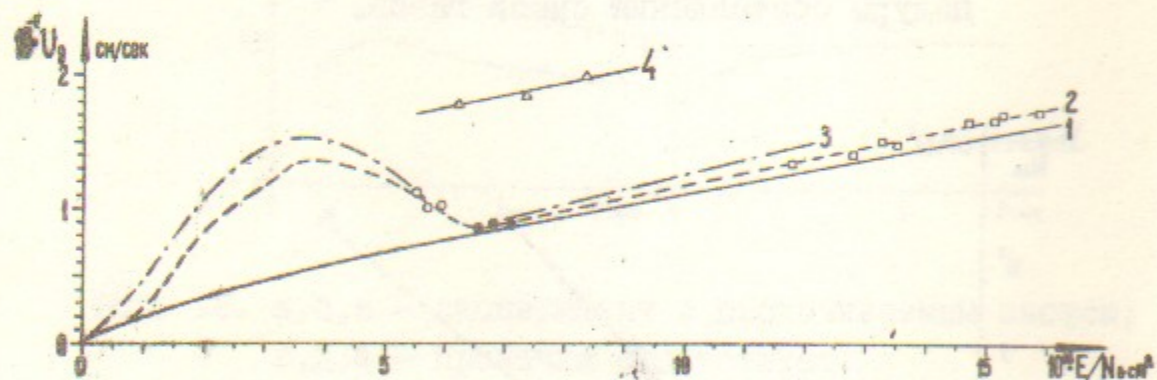
Фиг. 19. Зависимость экспериментальных и расчетных характеристик газоразрядной плазмы от процедуры составления смеси газов.



Фиг. 20. Полная вероятность диссоциации азота ($N_2 + e \rightarrow 2N + e$) и CO_2 ($CO_2 + e \rightarrow CO + O + e$) в зависимости от параметра E/N .



Фиг. 21. Зависимость относительной концентрации диссоциировавших молекул азота в тлеющем разряде от давления газа.



Фиг. 22. Зависимость скорости дрейфа электронов от параметра E/N . 1 - N_2 ; 2 - CO_2 ; 3 - $0,8CO_2 + 2,2N_2 + PHe$, где $P \geq 2$; 4 - $0,8CO_2 + 2,2N_2$. Символы \circ - соответствует эксперименту для CO_2 в цилиндрической геометрии, \bullet - $0,8CO_2 + 2,2N_2 + 3He$, \triangle - $0,8CO_2 + 2,2N_2$. Кривая 3 построена по данным, полученным для смеси $0,8CO_2 + 2,2N_2 + 5He$ в коаксиальной геометрии разряда.

Л и т е р а т у р а

1. В.В.Данилов, Э.П.Кругляков, Е.В.Шуныко, ПМТФ, №2, (1973).
2. Е.Ф.Ищенко, Ю.М.Климков, "Оптические квантовые генераторы", изд. "Советское радио", Москва, (1968).
3. В.В.Данилов, Э.П.Кругляков, Е.В.Шуныко, ПМТФ, №6, 24 (1972).
4. David C. Smith, I.E.E.E., Quant. Electron., 463 (September 1971).
5. Дж. Мик, Дж. Крегс, "Электрический пробой в газах", изд. иностранной литературы, Москва, (1960).

Ответственный за выпуск Г.А.СПИРИДОНОВ
Подписано к печати МН 07433 от 14.8.75г.
Усл. 2,2 печ.л., тираж 200 экз. Бесплатно
Заказ № 67

Отпечатано на ротапинтере в ИЯФ СО АН СССР, мп, вт